

بررسی پلیمورفیسم Xmnl در ناحیه ۵ ژن آپولیپوپروتئین AI در بیماران هیپرلیپیدمیک

احمدرضا بندگی^{۱,*} (Ph.D)، محسن فیروز رای^۱ (Ph.D)، عبدالوهاب احسانی زنوز^۲ (Ph.D)، محمدرضا اکبری عیدگاهی^۳ (Ph.D)، علی اکبر شعبانی^۴ (Ph.D)، مجتبی ملک^۴ (M.D)

۱- دانشگاه علوم پزشکی ایران، دانشکده علوم پایه، گروه بیوشیمی
۲- دانشگاه علوم پزشکی سمنان، دانشکده پزشکی، گروه بیوشیمی
۳- دانشگاه علوم پزشکی سمنان، مرکز تحقیقات بیوتکنولوژی
۴- دانشگاه علوم پزشکی سمنان، بیمارستان فاطمیه (ع)، گروه داخلی

چکیده

سابقه و هدف: مطالعات متعددی، ارتباط پلیمورفیسم‌های موجود در مجموعه ژنی ApoAI- CIII-AIV- ApoAI در ناحیه ۵ ژن آپولیپوپروتئین AI (T 2500 C) در بیماران ایرانی مبتلا به هیپرلیپیدمی اولیه انجام شد.

مواد و روش‌ها: DNA ژنومیک ۷۶ نفر بیمار با هیپرلیپیدمی اولیه و ۷۵ نفر فرد سالم با میزان لیپیدهای طبیعی خون تهیه گردید، که گروه کنترل از نظر سن و جنس با گروه هیپرلیپیدمیک مشابه‌سازی شدند. تکثیر قطعه ۳۹۲ جفت بازی ناحیه ۵ ژن apoAI با استفاده از واکنش زنجیره‌ای پلیمراز (PCR) و پرایمرهای ویژه انجام گردید.

توزیع ژنتیکی و فراوانی الهای پلیمورفیسم Xmnl تعیین و میان افراد بیمار و سالم مقایسه گردید. یافته‌ها: فراوانی ژنتیپ‌های X1X2، X2X2 و X1X1 در گروه هیپرلیپیدمیک به ترتیب ۰/۶۳، ۰/۲۴ و ۰/۱۳ و در گروه کنترل به ترتیب ۰/۱۱، ۰/۰۸ و ۰/۰ بود؛ که اختلاف معنی‌داری بین دو گروه مشاهده شد ($p < 0.05$). فراوانی ال نادر Xmnl (X2) در گروه هیپرلیپیدمیک، افزایش معنی‌داری نسبت به گروه کنترل داشت ($p < 0.01$)، ولی بین ژنتیپ‌های مختلف Xmnl در گروه هیپرلیپیدمیک، اختلاف معنی‌داری در غلظت لیپیدها و آپوپروتئین AI مشاهده نشد.

نتیجه‌گیری: نتایج فوق نشان داد که پلیمورفیسم Xmnl در ناحیه ۵ ژن آپولیپوپروتئین AI در بیماران ایرانی مورد مطالعه ما همراه با هیپرلیپیدمی است. بنابراین نتایج ما تأییدی بر مطالعاتی است که ارتباط پلیمورفیسم مذکور را با هیپرلیپیدمی گزارش کرده‌اند.

واژه‌های کلیدی: پلیمورفیسم، Xmnl، هیپرلیپیدمی، آپولیپوپروتئین AI

می‌باشد و یکی از فاکتورهای خطر مهم بیماری‌های قلبی-عروقی است [۳,۹].

مطالعات اپیدمیولوژیک نشان داده که علاوه بر فاکتورهای

مقدمه

هیپرلیپیدمی یک اختلال متابولیک است که ناشی از تولید زیاد یا نقص کلیرانس لیپوپروتئین‌ها یا ترکیبی از هر دو

XmnI در بیماران مبتلا به هیپرتری‌گلیسریدمی در کره جنوبی، در مقایسه با افراد سالم افزایش معنی‌داری را نشان داده است [۹].

هم‌چنین در مطالعه‌ای که بیماران هیپرلیپیدمیک از نژاد فرقاژی، بر اساس سطح پلاسمایی TG طبقه‌بندی شده بودند، فراوانی‌الل نادر در افراد با غلظت بالای TG، افزایش معنی‌داری را نشان داد [۱۲].

به دلیل همراهی این پلی‌مورفیسم با هیپرلیپیدمی در بعضی از نژادها، مطالعه حاضر پلی‌مورفیسم XmnI در انتهای ۵' ژن آپوAI برای اولین بار در بیماران ایرانی مبتلا به هیپرلیپیدمی اولیه بررسی می‌کند.

مواد و روش‌ها

افراد مورد بررسی در این مطالعه که از نوع مطالعه مقطعی - مقایسه‌ای بود، مراجعین به بیمارستان فاطمیه (س) سمنان و آزمایشگاه تشخیص پزشکی دانشکده پزشکی سمنان بین مهر تا اسفند ۱۳۸۱، توسط پرسشنامه و اندازه‌گیری تری‌گلیسرید (TG) و کلسترول تام (TC) مورد بررسی قرار گرفتند. غونه‌هایی که سطح TG یا TC آن‌ها بیش از دامنه طبیعی بود، آزمایشات تکمیلی انجام شد. افراد با بیماری تیروئید، دیابت ملیتوس، نارسایی کلیوی، بیماری کبدی، $\geq 160\text{ mmHg}$ پرشاری خون ($\geq 90\text{ mmHg}$ دیاستولی و سیستولی) [۱۵]، بیماران مصرف‌کننده داروهای مؤثر بر سطح پلاسمایی لیپیدها (α -بلوکرها، دیورتیک‌ها و کتراسپتیوها) و خانم‌های حامله از مطالعه خارج شدند. درنهایت تعداد ۷۶ نفر (۳۳ مرد و ۴۳ زن) با میانگین سنی $46/1\pm 21$ سال با هیپرلیپیدمی اولیه (TG $\geq 200\text{ mg/dl}$ یا LDL-c $\geq 160\text{ mg/dl}$ یا هر دو) [۱۶] انتخاب گردیدند، که قاع افراد بیشتر از ۲۰۰ mg/dl LDL-c بود و تنها ۴۶ نفر آن‌ها هم داشتند. تعداد ۷۵ نفر (۳۵ مرد و ۴۰ زن) با میانگین سنی $45/2\pm 1/4$ سال و بدون هیچ نوع سابقه بیماری خاصی و با سطح پلاسمایی TG $< 150\text{ mg/dl}$ و TC $< 200\text{ mg/dl}$ که از نظر سن و جنس با گروه هیپرلیپیدمیک مشابه‌سازی شدند در

محیطی مانند رژیم غذایی، کشیدن سیگار و روش زندگی، مکانیسم‌های ژنتیکی نیز در هیپرلیپیدمی نقش دارند [۱۸]. از علل ژنتیکی می‌توان، ژن‌های آپولیپوپروتئین‌ها را نام برد که تغییرات ژنتیکی در آن‌ها، همراه با دیس‌لیپیدمی است [۹].

مطالعات متعددی، همراهی تغییرات ژنتیکی جمجمه‌های ژن ApoAI-CIII-AIV با هیپرلیپیدمی یا آترواسکلروز را نشان داده‌اند [۶, ۹, ۲۲].

ژن‌های آپولیپوپروتئین‌های AI، CIII و AIV متصل به یکدیگر و به صورت یک جمجمه‌های ژنی بر روی بازوی بلند کروموزوم ۱۱q23 - q24 به طول ۱۷ کیلو‌دالتون قرار دارند. محصولات این ژن‌ها، یعنی آپولیپوپروتئین‌های AI، CIII و AIV نقش ساختمانی و عملکردی مهمی در لیپوپروتئین‌های خون بر عهده دارند [۶].

آپوAI پروتئین ۲۸ کیلو‌دالتونی است که دارای ۲۴۳ اسید‌آمینه می‌باشد [۱۰] و محل اصلی سنتز آن در کبد و به مقدار کمتر در روده و قلب [۳] می‌باشد. آپوAI پروتئین اصلی HDL است و حدود ۷۵٪ قسمت پروتئین آن را تشکیل می‌دهد [۳] و به عنوان کوفاکتور آنزیم لسیتین کلسترول اسیل‌ترانسفراز (Lecithin-cholesterol acyltransferase) (LCAT) عمل می‌کند؛ که این آنزیم، کلسترول آزاد پلاسمایی را به کلسترول استریفیه تبدیل می‌نماید [۲].

آپوAI، نقش مهمی در تعیین غلظت پلاسمایی HDL و محافظت در برابر پیشرفت آترواسکلروز و نیز نقش کلیدی در مسیر انتقال معکوس کلسترول دارد. هم‌چنین گروهی از محققین بر این عقیده‌اند که آپوAI از طریق اعمال آنتی‌اکسیدان، آنتی‌ترومبیک و ضدالتهابی، دیواره عروق را در برابر آترواسکلروز محافظت می‌کند [۳].

در مطالعات مختلف، افزایش سطح پلاسمایی LDL و کاهش HDL یا آپوAI به عنوان فاکتور خطر بیماری‌های قلبی - عروقی مطرح شده‌اند [۲]. هم‌چنین تعدادی از بزرگی‌ها، تغییرات ژنتیکی در ژن آپوAI را در افزایش تری‌گلیسرید دخیل می‌دانند [۶]. این مطالعات در نژادها و اقوام مختلف انجام شده است؛ برای مثال فراوانی‌الل نادر

۴ °C TE (Tris-EDTA) حل و در دمای PH=۷/۴ نگهداری شد. با استفاده از دستگاه Gene Quant II و تعیین نسبت A260/A280، غلظت DNA دو رشته‌ای و پروتئین PCR محاسبه گردید. برای اطمینان از انجام PCR، محصولات در آگاروز ۱ درصد نیز الکتروفورز شد.

جهت تکثیر قطعه ۳۹۲ جفت بازی از ۲۶۷۳ - ۲۲۸۱ تا (C- 2500 T) AI که دارای مکان اثر آنزیم XmnI (ASP700) است از پرایه‌های

(Forward) ۵'- GGA AAC AGG GGC CTA CAC TGT G-۳'
(Reverse) ۵'- GTC TGC AGC CTT TGC AGT CTG ATC -۳'
DNA Technology A/s [۵،۱۸] ساخت شرکت (دانمارک) استفاده گردید.

واکنش زنجیره‌ای پلیمراز (PCR) در دستگاه CORBETT Research (استرالیا) در دمای ۵۰ °C مختلط و غلظت‌های متفاوت پرایه و MgCl₂ مورد آزمایش قرار گرفت که درنهایت در حجم‌های ۲۵ میکرولیتری دارای حدود ۵۰ نانوگرم DNA ژنومی، ۱۰ پیکومول از هر پرایه، ۲/۵ میکرولیتر از بافر × ۱۰ (سیناژن)، یک واحد از آنزیم MgCl₂ ۱ mM Taq DNA Polymerase ۲Mercapto ethanol ۱۰ mM dNTPs ۰/۱ mM و ۱۰% Dimethyl sulfoxide (DMS)، (2ME) Bovin Serum Albumin (BSA) ۰/۰۰۱ µg انجام گردید.

شرایط واکنش‌های زنجیره‌ای در ترموسایکل. ابتدا مخلوط ۳ دقیقه در دمای ۹۴ °C گرم شد تا رشته‌های DNA از هم جدا شوند و سپس ۳۳ سیکل، برنامه تغییر دمای ذیل تکرار شد: ۱ دقیقه در ۹۴ °C (Denaturation)، ۱ دقیقه در ۶۵ °C (Annealing)، ۱ دقیقه در ۷۲ °C (Extention). بعد از اتمام سیکل‌ها، به مدت ۵ دقیقه دمای ۷۲ °C و ۱ دقیقه دمای ۲۵ °C داده می‌شد.

گروه کنترل قرار گرفتند. افراد از نظر وضعیت مصرف سیگار، در دو گروه سیگاری و غیرسیگاری طبقه‌بندی شدند. افرادی که ظرف یک ماه اخیر سیگار کشیده‌اند سیگاری محسوب شدند [۷].

نمونه‌گیری. ۱۰ میلی‌لیتر خون وریدی بعد از حداقل ۱۲ ساعت ناشتا ماندن در لوله‌های حاوی EDTA تهیه گردید. نمونه‌های خون، بلا فاصله به مدت ۳۰ دقیقه (۳۶۰۰ g) سانتریفوژ گردید. آزمایش‌های اولیه TG، TC و قندخون ناشتا (FBS) به روش آنژیاتیک، T4، TSH و T3 با روش رادیوایونواسی، کراتنین، اوره، آلكالین فسفاتاز، آلانین ترانس‌آمیناز و آسپارتات ترانس‌آمیناز به روش کالری متربیک جهت تأیید هیبرلیپیدمی اولیه بر روی پلاسما انجام گردید. باقیمانده پلاسما در ۷۰ °C - جهت آنالیز بیشتر لیپیدها و آپوپروتئین‌ها ذخیره گردید.

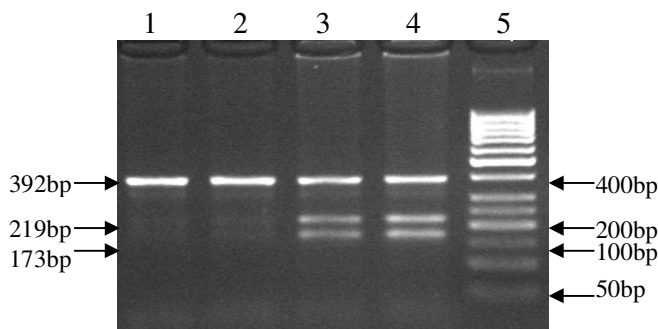
روش‌های سنجش لیپیدها و آپوپروتئین‌ها. برای اندازه‌گیری TG و TC از روش آنژیاتیک و برای LDL-c، HDL-c، آپو AI و آپو B از روش ایونوتوریومتری و دستگاه اتو آنالیزور COBAS MIRA (سوئیس) استفاده شد. Diagnostic System GmbH & CO, KG (آلمان) جهت کنترل کافی آزمایش‌ها استفاده شد. کلیه کیت‌ها از شرکت پارس آزمون تهیه گردید.

آنالیز DNA. جهت استخراج DNA ژنومیک از سلول‌های سفید خون محیطی از روش Salting out [۱۶] استفاده شد. بدین ترتیب که سلول‌های سفید شده از خون دارای EDTA، چندین مرتبه با آب مقتدر شستشو داده شد (جهت لیز شدن گلbul‌های قرمزا). در مرحله بعد برای لیز (NaCl) EDTA، Tris-HCl (NaCl و EDTA)، SDS، TES و پروتئین K اضافه گردید و به مدت ۲ ساعت در دمای ۵۵ °C قرار داده شد. جهت رسوب پروتئن‌ها از ۵ مولار استفاده گردید. بعد با اضافه کردن ایزوپروپانول سرد به محلول شفاف رویی، DNA رسوب داده شد. در این مرحله، کلاف DNA را برداشته و آن را در بافر

استخراج DNA به طور موقتی آمیزی انجام گرفت و نتیجه تعیین درجه خلوص DNA (نسبت A260/A280) در تمامی موارد در حد قابل قبول (۰.۷/۱-۰.۳/۱) بود.

خصوصیات کلینیکی و بیوشیمیایی دو گروه هیپرلیپیدمیک و کنترل در جدول ۱ نشان داده شده است. همان‌طور که در جدول ۱ نشان داده شده، دو گروه از نظر جنس و سن اختلاف معنی‌داری با یکدیگر ندارند. در گروه هیپرلیپیدمیک، غلظت پلاسمایی TG، TC، LDL-C و آپوB افزایش معنی‌دار ($P < 0.0001$) و غلظت پلاسمایی HDL-C و آپوAI کاهش معنی‌دار ($P < 0.0001$) نسبت به گروه کنترل نشان می‌دهند. فراوانی الی نادر بین مردان و زنان اختلاف معنی‌داری نشان نداد و این به ما اجازه داد که داده‌های مربوط به زنان و مردان را با هم ترکیب نماییم.

همان‌طور که در شکل ۱ نشان داده شده است نمونه‌های هموژیگوت برای الی شایع (X1) دارای یک قطعه ۳۹۲ جفت بازی هستند و نمونه‌های هتروژیگوت که علاوه بر باند ۳۹۲ جفت بازی دارای ۲ باند اضافی ۱۷۳ و ۲۱۹ جفت بازی هم می‌باشند. در شکل ۲ (ستون شماره ۳) یک نمونه هموژیگوت برای الی نادر (X2) نشان داده شده است که فقط دارای ۲ باند ۱۷۳ و ۲۱۹ جفت بازی است.

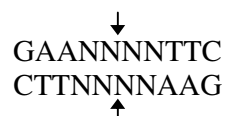


شکل ۱. ستون‌های ۱ و ۲ مربوط به دو نمونه هموژیگوت برای الی شایع، ستون‌های ۳ و ۴ مربوط به دو نمونه هتروژیگوت و ستون ۵ مربوط به سایر مارکر (50bp) است.

توزیع ژنتیک و فراوانی الی پلی‌مورفیسم XmnI در دو گروه در جدول ۲ نشان داده شده است. فراوانی‌های ۳ ژنتیک

محصول PCR تمام‌غونه‌ها برای اطمینان، روی ژل آگاروز ۰.۰۲M ۰.۰۹M Tris-borate (TBE) در بافر ۲ درصد (PH=8.۳)، EDTA ۰.۰۰۱M و رنگ‌آمیزی اتیدیوم بروماید Ultraviolet transilluminator توسط بررسی می‌گردید.

PCR با ۲/۵ واحد از آنزیم XmnI (Roche) و بافر مربوطه به مدت ۴ ساعت در دمای ۳۷ °C هضم گردید. سپس بر روی ۰.۰۲M ۰.۰۹M Tris-borate (TBE) در بafر ۲ درصد و با رنگ‌آمیزی اتیدیوم بروماید Run گردید. آنزیم XmnI، توالی ذیل را تشخیص داده و در محل فلش‌ها زنجیر DNA را قطع می‌کند. الی شایع (X1) XmnI توسط آنزیم XmnI بریده نمی‌شود، ولی الی نادر (X2) به قطعات ۱۷۳ و ۲۱۹ جفت بازی بریده می‌شود.



روش‌های آماری. جهت محاسبات آماری از نرم‌افزار SPSS9/Win کمک گرفته شد. همه متغیرها از توزیع نرمال برخوردار بودند. در این مطالعه هیچ اختلاف آماری معنی‌داری بین مردان و زنان وجود نداشت لذا همه آنالیزها در کل گروه انجام گردید. تفاوت‌های آماری بین پارامترهای پلاسمای خون با استفاده از آزمون t-student محاسبه شد. فراوانی پلی‌مورفیسم ژن آپوAI با شمارش الی‌ها و ژنوتیپ‌ها و با استفاده از آزمون Chi-square انجام گردید. یک آنالیز واریانس (ANOVA) و به دنبال آن Tukey test برای مقایسه میانگین غلظت لیپیدها و آپولیپوپروتئین‌ها در میان ژنوتیپ‌های مختلف استفاده شد. نتایج تمام آزمایشات در متن و جداول به صورت $\text{Mean} \pm \text{S.E.M}$ گزارش شده و با شرط $p < 0.05$ اختلاف معنی‌دار منظور گردید.

نتایج

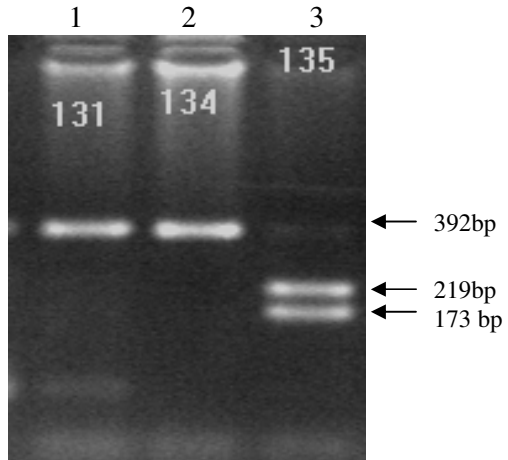
اثر ژنوتیپ‌های مختلف XmnI بر روی لیپیدها و آپوپروتئین‌های گروه هیرلیپیدمیک در جدول ۳ نشان داده شده است که هیچ‌گونه اختلاف معنی‌داری نشان نمی‌دهد.

جدول ۱. خصوصیات بالینی و بیوشیمیایی گروه‌های مورد مطالعه

p-value	گروه هیرلیپیدمیک n=۷۶	گروه کنترل n=۷۵	خصوصیات
۰/۶۴	۴۶/۱±۱/۲۱	۴۵/۳±۱/۴	سن (سال)
۰/۶۹	۳۵/۴۰	۳۴/۴۳	جنس (زن/مرد)
۰/۰۰۰۱	۲۶/۹±۰/۴۲	۲۴/۷±۰/۳۸	نمای توده بدنی (Kg/m ²)
۰/۱	۶۴/۱۲	۵۵/۲۰	سیگار (سیگاری /غیرسیگاری)
۰/۰۰۰۱	۲۹۸±۶	۱۳۱±۵	کلسسترول توتال
۰/۰۰۰۱	۴۳۰±۱۹	۱۶۰±۳	تری‌گلیسرید
۰/۰۰۰۱	۱۵۴±۵	۶۸±۳	LDL-c
۰/۰۰۰۱	۳۵/۷±۰/۸۴	۴۵/۴±۰/۸	HDL-c
۰/۰۰۰۱	۱۱۹±۱/۶	۱۳۸±۱/۵	Apo AI
۰/۰۰۰۱	۱۷۱±۴/۶	۹۶±۳/۳	Apo B

مقادیر به صورت Mean±S.E.M و واحدها بر حسب میلی گرم بر دسی‌لیتر گزارش شده‌اند.

مختلف مشاهده شده برای X1X2, X2X2 (XmnI) و X1X1 (XmnI) بین گروه کنترل و هیرلیپیدمیک اختلاف معنی‌دار نشان می‌دهد ($p<0.05$). فراوانی ال ۱ و ۲ در گروه هیرلیپیدمیک به ترتیب ۷۴/۰ و ۲۶/۰ بود که نسبت به گروه کنترل، اختلاف معنی‌دار است ($p<0.01$).



شکل ۲. ستون‌های ۱ و ۲ هموریگوت برای ال شایع و ستون ۳ هموریگوت برای ال نادر را نشان می‌دهد.

جدول ۲. توزیع ژنوتیپ و فراوانی الی برای پلی‌مورفیسم XmnI ژن ApoAI در گروه‌های مورد مطالعه

فراوانی الی (%)	ژنوتیپ							p-value
	X2	X1	X2X2+X1X2	X1X1	X2X2	X1X2	X1X1	
۰/۱۲۳	۰/۸۶۶	۱۲/۰/۱۸	(۰/۰/۱۸)	۶۱ (۰/۰/۸۱)	۶ (۰/۰/۰۸)	۸ (۰/۰/۰۶)	۶۱ (۰/۰/۸۱)	گروه کنترل (%)
۰/۲۵	۰/۷۵	۲۸ (۰/۰/۳۷)		۴۸ (۰/۰/۶۳)	۱۰ (۰/۰/۱۲)	۱۸ (۰/۰/۲۴)	۴۸ (۰/۰/۶۳)	گروه هیرلیپیدمیک (%)
۰/۰۱		۰/۰۱				۰/۰۴		

جدول ۳. اثر پلی‌مورفیسم XmnI ژن ApoAI روی وضعیت لیپید سرمه در گروه هیرلیپیدمیک.

p-value	n=۱۰ X2X2	n=۱۸ X1X2	n=۴۸ X1X1	XmnI ژنوتیپ
۰/۷۶	۴۶/۴±۴	۴۷/۷±۲/۱	۴۵/۵±۱/۶	سن (سال)
۰/۰۳	۶/۴	۷/۱۱	۲۰/۲۷	جنس (زن/مرد)
۰/۲۴	۲۵/۶±۰/۸۳	۲۶/۱±۰/۷	۲۷/۴±۰/۶	نمای توده بدنی (Kg/m ²)
۰/۸۷	۹/۱	۱۵/۳	۳۹/۸	سیگار (سیگاری /غیرسیگاری)
۰/۸۵	۳۰۲±۱۸	۳۰۲±۱۳	۲۹۶±۷	کلسسترول توتال
۰/۰۸	۳۲۰±۳۲	۴۲۹±۳۴	۴۵۳±۲۶	تری‌گلیسرید
۰/۳	۱۷۰±۱۴	۱۶۳±۹	۱۵۰±۶	LDL-c
۰/۱۵	۳۹/۸±۲/۱۳	۳۴/۶±۱/۱۴	۳۵/۳±۱/۱۵	HDL-c
۰/۱	۱۲۸±۴	۱۱۹±۳	۱۱۷±۲	Apo AI
۰/۶۸	۱۸۲±۱۲	۱۷۰±۱۱	۱۶۹±۵	Apo B

مقادیر به صورت Mean ± S.E.M و واحدها بر حسب میلی گرم بر دسی‌لیتر گزارش شده‌اند.

بحث

بیش از ده پلی‌مورفیسم در مجموعه ژنی Apo AI-CIII-AIV تعدادی از مطالعات و روی جمعیت‌های خاص، ارتباط برخی از پلی‌مورفیسم‌ها با هیرتری‌گلیسریدمی گزارش گردیده است [۹،۱۰] ولی چنین ارتباطی در برخی از بررسی‌ها مشاهده نشده است [۱۱،۱۲].

ما پلی‌مورفیسم XmnI در انتهای ۵' ژن آپولیپوپروتئین C-2500 T) AI در افراد با هیرلیپیدمی اولیه را مطالعه و با افراد سالم مقایسه کردیم. بر اساس اطلاعات ما، تاکنون هیچ‌گونه گزارشی در مورد پلی‌مورفیسم XmnI در ژن آپولیپوپروتئین AI در جمعیت ایرانی گزارش نشده است.

نتایج این مطالعه به وضوح نشان داد که سطح لیپیدهای پلاسما به طور معنی داری ($p < 0.0001$) بین ۲ گروه، متفاوت می‌باشد؛ همچنین در این بررسی، توزیع ژنوتیپ‌های مختلف XmnI گروه هیرلیپیدمیک، اختلاف معنی داری با گروه کنترل داشت ($p < 0.05$). فراوانی ال نادر X2 در گروه هیرلیپیدمیک بیش تر از گروه کنترل بود ($p < 0.01$). یک رابطه آماری معنی دار در مورد اثر ژنوتیپ‌های مختلف XmnI بر غلظت لیپیدهای پلاسما ای در گروه هیرلیپیدمیک به دست نیامد، هرچند افراد هموزیگوت در ال X2 دارای غلظت TG کمتری نسبت به افراد هموزیگوت در ال X1 و هتروزیگوت‌ها بودند.

چون رابطه آماری معنی داری بین ژنوتیپ‌های مختلف XmnI و غلظت آپولیپوپروتئین AI در گروه هیرلیپیدمیک به دست نیامد، پس می‌توان نتیجه گرفت که حضور ال نادر، باعث تغییر بیان ژن آپولیپوپروتئین AI نمی‌شود. همچنین این پلی‌مورفیسم باعث تغییر سکانس ژن آپولیپوپروتئین AI نمی‌شود (به علت این‌که در ناحیه 2500-2500 نسبت به مکان شروع ژن آپولیپوپروتئین AI قرار دارد)، ولی شاید حضور هم‌زمان این ال با سایر پلی‌مورفیسم‌ها در مجموعه ژنی Apo AI-CIII-AIV در افزایش غلظت لیپیدها و آپولیپوپروتئین AI گروه هیرلیپیدمیک نسبت به گروه کنترل نقش داشته باشد. به عبارت دیگر، افزایش غلظت لیپیدها و

آپولیپوپروتئین AI می‌تواند نتیجه یک عدم تعادل پیوستگی (Linkage disequilibrium) بین پلی‌مورفیسم‌های مختلف در این مجموعه ژنی باشد. لذا بهتر است این پلی‌مورفیسم همراه با سایر پلی‌مورفیسم‌های شایع در این مجموعه ژنی بررسی گردد.

در برخی از مطالعات انجام شده ارتباط پلی‌مورفیسم XmnI با هیرتری‌گلیسریدمی گزارش شده است [۹]. به طور مثال مطالعه Hong و همکاران که بر روی افراد با هیرتری‌گلیسریدمی اولیه صورت گرفت، فراوانی ال نادر در گروه هیرتری‌گلیسریدمی افزایش معنی داری نسبت به گروه کنترل نشان داد؛ به طوری که فراوانی ال نادر در گروه کنترل و هیرلیپیدمیک به ترتیب $0/0$ و $0/17$ بود که بیشتر از فراوانی مشاهده شده در مطالعه ما می‌باشد. همچنین غلظت TG در میان ژنوتیپ‌های مختلف XmnI در افراد هیرتری‌گلیسریدمیک معنی دار بوده است به طوری که افراد هموزیگوت در ال X2 دارای غلظت بیشتر TG بودند.

در مطالعه Paul-Hayase و همکاران [۱۹] که بر روی افراد سالم افراد با غلظت طبیعی لیپیدها در بلزیک صورت گرفته است، فراوانی ال نادر، مشابه فراوانی ال نادر در گروه کنترل این مطالعه می‌باشد.

مطالعه Ahn و همکاران [۱] که بر روی افراد سالم صورت گرفته است فراوانی ال نادر X2 $0/35$ بود و یک رابطه آماری معنی دار بین ژنوتیپ‌های مختلف XmnI و کلسترول تام، به دست آورده است به طوری که در حضور ال نادر، غلظت کلسترول تام پایین‌تر از حالت هموزیگوت X1 است. همچنین در مطالعه فوق، هموزیگوت‌ها برای ال X2، دارای TG کمتری بودند ولی اختلاف، معنی دار نبود که این مشابه مطالعه ما می‌باشد.

Kessling و همکاران [۱۲] در مطالعه خود یک افزایش معنی دار فراوانی ال X2 در افراد غیردیابتی با تیپ IV و V هیرلیپیدمی در طبقه‌بندی فردیکسون نشان دادند.

در مطالعه Hayden و همکاران [۸]، فراوانی ال نادر X2 در هیرلیپیدمی مرکب فامیلی (Familial combind

قبلی است که مجموعه ژنی Apo AI-CIII-AIV در ارتباط با هیرلیپیدمی است.

تشکر و قدردانی

بدین وسیله از پرسنل محترم مرکز تحقیقات بیوتکنولوژی، گروه بیوشیمی و آزمایشگاه تشخیص پزشکی دانشکده پزشکی دانشگاه علوم پزشکی سمنان، سرکار خانم ذوالقدری در بیمارستان فاطمیه (ع) سمنان و پرسنل محترم مرکز تحقیقات سلوی و مولکولی دانشگاه علوم پزشکی ایران به خاطر همکاری صمیمانه‌شان تشکر و قدردانی می‌گردد.

منابع

- [1] Ahn YI, Valdez R, Reddy AP, Cole SA, Weiss KM, Ferrell RE. DNA polymorphisms of the apolipoprotein AI/CIII/AIV gene cluster influence plasma cholesterol and triglyceride levels in the Mayans of the Yucatan Peninsula, Mexico. *Hum Hered*, 1991; 41(5): 281-9.
- [2] Asztalos BF, Schaefer EJ. High-density lipoprotein subpopulations in pathologic conditions. *Am J Cardiol*, 2003; 91:12E-17E.
- [3] Barouch N, Lopez CE, Saleh MC, Recalde D, Vergnes L, Ostos MA, et al. Expression and secretion of human apolipoprotein A-I in the heart. *FEBS Lett*, 2004 Jan 16; 557(1-3): 39-44.
- [4] Dallinga-Thie GM, van Linde-Sibenius Trip M, Rotter JI, Cantor RM, Bu X, Lusis AJ, et al. Complex genetic contribution of the Apo AI-CIII-AIV gene cluster to familial combined hyperlipidemia. Identification of different susceptibility haplotypes. *J Clin Invest*, 1997 Mar 1; 99(5): 953-61.
- [5] Dallinga-Thie GM, Bu XD, van Linde-Sibenius Trip M, Rotter JI, Lusis AJ, de Bruin TW. Apolipoprotein A-I/C-III/A-IV gene cluster in familial combined hyperlipidemia: effects on LDL-cholesterol and apolipoproteins B and C-III. *J Lipid Res*, 1996 Jan; 37(1): 136-47.
- [6] Groenendijk M, Cantor RM, de Bruin TW, Dallinga-Thie GM. The apoAI-CIII-AIV gene cluster. *Atherosclerosis*, 2001 Jul; 157(1): 1-11.
- [7] Haidari M, Moghadam M, Chinicar M, Ahmadieh A, Doosti M. Apolipoprotein B as the best predictor of coronary artery disease in Iranian normolipidemic patients. *Clin Biochem*, 2001 Mar; 34(2): 149-55.
- [8] Hayden MR, Kirk H, Clark C, Frohlich J, Rabkin S, McLeod R, et al. DNA polymorphisms in and around the Apo-A1-CIII genes and genetic hyperlipidemias. *Am J Hum Genet*, 1987 May; 40(5): 421-30.
- [9] Hong SH, Park WH, Lee CC, Song JH, Kim JQ. Association between genetic variations of apo AI-CIII-AIV cluster gene and hypertriglyceridemic subjects. *Clin Chem*, 1997 Jan; 43(1): 13-7.
- [10] Ikewaki K, Matsunaga A, Han H, Watanabe H, Endo A, Tohyama J, et al. A novel two nucleotide deletion in the apolipoprotein A-I gene, apoA-I Shinbashi, associated with high density lipoprotein deficiency, corneal opacities, planar xanthomas, and premature coronary artery disease. *Atherosclerosis*, 2004 Jan; 172(1): 39-45.
- [11] Kee F, Amouyel P, Fumeron F, Arveiler D, Cambou JP, Evans A, et al. Lack of association between genetic variations of apo A-I-C-III-A-IV gene cluster and myocardial infarction in a sample of European male: ECTIM study. *Atherosclerosis*, 1999 Jul; 145(1): 187-95.
- [12] Kessling AM, Horsthemke B, Humphries SE. A study of DNA polymorphisms around the human apolipoprotein AI gene in

(FCHL, hyperlipidemia) بیشتر از گروه کنترل و افراد با هیرلیپیدمی‌های دیگر مانند هیرلیپیدمی فامیلی و دیس‌ بتالیوپروتئینمی فامیلی بود.

Tahvanainen و همکاران [۲۰]، در مطالعه خود نشان دادند که فراوانی ال نادر X2 در FCHL بیشتر از گروه کنترل است. مطالعه Zhang و همکاران، اختلاف معنی‌داری بین گروه‌های کنترل چینی و قرقازی در فراوانی الی XmnI نشان داده است [۲۳]. در مقابل، گزارش‌هایی هم وجود دارند که هیچ ارتباطی بین پلی‌مورفیسم XmnI و هیرلیپیدمی مشاهده نکرده‌اند، مانند مطالعه Kee و همکاران [۱۱] که بر روی بیماران MI و گروه کنترل صورت گرفته و هیچ گونه رابطه‌ای بین پلی‌مورفیسم XmnI و غاظت لیپیدها به دست نیاورده‌اند و ژنتیپ‌های مختلف، اثر معنی‌داری بر غاظت لیپیدها در گروه کنترل نداشتند. در تعداد زیادی از مطالعات FCHL [۴,۵,۶,۸] به ارتباط بین پلی‌مورفیسم XmnI و اشاره شده است و با توجه به این که در مطالعه ما تعدادی از افراد در گروه هیرلیپیدمیک، علاوه بر افزایش TG پلاسما، کلسیترول تام آن‌ها هم بیش از ۹۵th percentile (ارزش ۹۵ درصدی) برای سن و جنس بوده است، یعنی حالتی که در FCHL مشاهده می‌شود؛ شاید افرادی با FCHL وارد شده‌اند و لذا ما، بین ژنتیپ‌های مختلف XmnI در دو گروه کنترل و هیرلیپیدمیک اختلاف معنی‌دار مشاهده کردیم.

نتایج ما نشان داد که شاید پلی‌مورفیسم XmnI در جمعیت ایرانی به عنوان یک مارکر ژنتیکی برای پیش‌بینی خطر افزایش TG و TC و یا آترواسکلروز مفید باشد؛ که البته برای یک نتیجه‌گیری قطعی باید این پلی‌مورفیسم بر روی نمونه‌های بیشتر و قومیت‌های مختلف کشور مطالعه شود.

نتایج به دست آمده در این مطالعه همسو با مطالعه‌ای است که ارتباط پلی‌مورفیسم XmnI با هیرلیپیدمی را گزارش کرده‌اند و نشان‌دهنده این است که هیرلیپیدمی، علاوه بر فاکتورهای محیطی مانند شیوه زندگی، رژیم غذایی و سیگار کشیدن، تحت تأثیر ژنتیک هم می‌باشد و تأییدی بر تحقیقات

- [18] De Oliveira e Silva ER, Kong M, Han Z, Starr C, Kass EM, Juo SH, et al. Metabolic and genetic determinants of HDL metabolism and hepatic lipase activity in normolipidemic females. *J Lipid Res*, 1999; 40: 1211-21.
- [19] Paul-Hayase H, Rosseneu M, Robinson D, Van Bervliet JP, Deslypere JP, Humphries SE. Polymorphisms in the apolipoprotein (apo) AI-CIII-AIV gene cluster: detection of genetic variation determining plasma apo AI, apo CIII and apo AIV concentrations. *Hum Genet*, 1992 Feb; 88(4): 439-46.
- [20] Tahvanainen E, Pajukanta P, Porkka K, Nieminen S, Ikavalko L, Nuotio I, et al. Haplotypes of the ApoA-I/C-III/A-IV gene cluster and familial combined hyperlipidemia. *Arterioscler Thromb Vasc Biol*, 1998 Nov; 18(11): 1810-7.
- [21] Wang XL, Badenhop R, Humphrey KE, Wilcken DE. New MspI polymorphism at +83 bp of the human apolipoprotein AI gene: association with increased circulating high density lipoprotein cholesterol levels. *Genet Epidemiol*, 1996; 13(1): 1-10.
- [22] Zeng Q, Dammerman M, Takada Y, Matsunaga A, Breslow JL, Sasaki J. An apolipoprotein CIII marker associated with hypertriglyceridemia in Caucasians also confers increased risk in a west Japanese population. *Hum Genet*, 1995 Apr; 95(4): 371-5.
- [23] Zhang Q, Liu Y, Liu BW, Fan P, Cavanna J, Galton DJ. Common genetic variants of lipoprotein lipase and apolipoproteins AI-CIII that relate to coronary artery disease: a study in Chinese and European subjects. *Mol Genet Metab*, 1998 Jul; 64(3): 177-83.
- hyperlipidaemic and normal individuals. *Clin Genet*, 1985 Oct; 28(4): 296-306.
- [13] Ko YL, Ko YS, Wu SM, Teng MS, Chen FR, Hsu TS, et al. Interaction between obesity and genetic polymorphisms in the apolipoprotein CIII gene and lipoprotein lipase gene on the risk of hypertriglyceridemia in Chinese. *Hum Genet*, 1997 Sep; 100(3-4): 327-33.
- [14] Marcil M, Boucher B, Gagne E, Davignon J, Hayden M, Genest J Jr. Lack of association of the apolipoprotein A-I-C-III-A-IV gene XmnI and SstI polymorphisms and of the lipoprotein lipase gene mutations in familial combined hyperlipoproteinemia in French Canadian subjects. *J Lipid Res*, 1996 Feb; 37(2): 309-19.
- [15] Masana L, Febrer G, Cavanna J, Baroni MG, Marz W, Hoffmann MM, et al. Common genetic variants that relate to disorders of lipid transport in Spanish subjects with premature coronary artery disease. *Clin Sci (Lond)*, 2001 Feb; 100(2): 183-90.
- [16] Miller SA, Dykes DD, Polesky HF. A simple salting out procedure for extracting DNA from human nucleated cells. *Nucleic Acids Res*, 1988; 16: 1215.
- [17] Miltiadous G, Hatzivassiliou M, Bashiardes E, Bairaktari E, Cariolou MA, Elisaf M. Genetic polymorphisms of the apolipoprotein A-IV in a Greek population and their relation to plasma lipid and lipoprotein levels. *Clin Genet*, 2002 Sep; 62(3): 208-13.